

Л.Т. Струтинська, В.Я. Михайловський

## Отримання каталітичних структур для проникних напівпровідникових термоелементів

*Інститут термоелектрики НАН та МОН України,*

*м. Чернівці, Головнашта, а/с 86, 58002, тел.(03722) 4-55-32, E-mail: [anatykh@inst.cv.ua](mailto:anatykh@inst.cv.ua)*

Представлено результати досліджень розподілу температур у каталітичних джерелах тепла для проникних термоелементів. Виявлено особливості нанесення активних компонентів каталізатора на пористі носії та умови отримання регульованого розподілу активних компонентів і досягнення максимальної повноти згоряння газового палива у пористих каталітичних структурах проникних термоелементів.

**Ключові слова:** проникний термоелемент, каталізатор, активний компонент, пористий носій.

*Стаття постуила до редакції 25.03.2005; прийнята до друку 15.09.2008.*

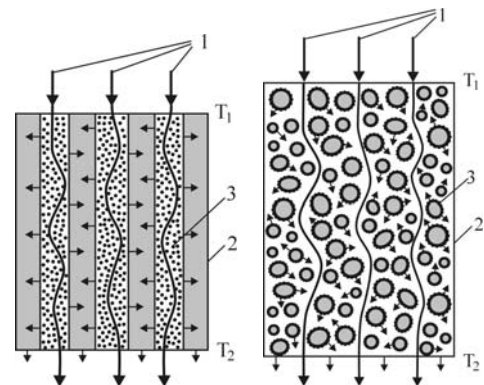
### Вступ

Для широкого практичного використання термоелектрики в наземних умовах актуальним є розвиток досліджень та розробка термоелектричних генераторів (ТЕГ) з джерелами тепла, що працюють на газовому й рідкому органічному паливах.

У даний час такі генератори використовуються для електричного живлення систем катодного захисту від корозії магістральних газо- та нафтопроводів, систем радіорелейного зв'язку, автоматичних метрологічних станцій, морських і річкових маяків та буїв [1].

Однак реалізація цих та багатьох інших можливостей використання термоелектричних генераторів, в тому числі і в побутовій сфері стримується тим, що у даний час вони мають недостатньо високий ККД та високу вартість. Тому актуальна постановка досліджень і розробка технологій, якими би розв'язувались проблеми підвищення ККД ТЕГ.

У відомих термоелектричних генераторах складові елементи – роздільні, тобто джерело тепла, колектор тепла, термобатарея та рекуператор є окремими компонентами. Разом з цим, відомі моделі, у яких такі компоненти об'єднані [2]. Це проникні термоелементи, що мають пористу структуру або канали для проходження газового або рідкого теплоносія. У таких термоелементах внутрішній об'єм проникних пор віток виконує функцію колектора тепла, а перебіг теплоносія від гарячої частини вітки до холодної, при відповідному теплообміні з об'ємом вітки, виконує також функцію рекуперації низькопотенційного тепла. Завдяки рекуперації у таких термоелементах може бути

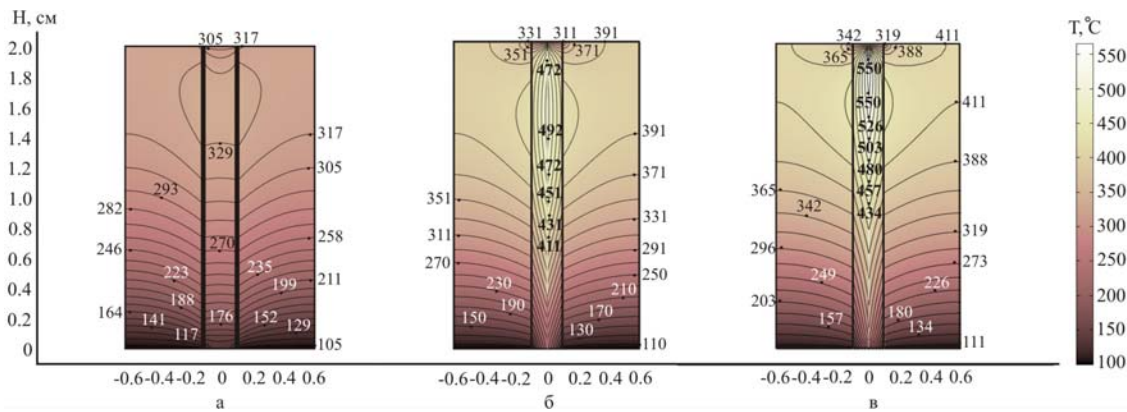


**Рис. 1.** Вітки проникних термоелементів з каталітичними джерелами тепла: а – вітки з каналами, які заповнені пористим каталізатором, б – вітки з каталізатором на внутрішній поверхні пор: 1 – потоки горючої суміші; 2 – вітка термоелемента; 3 – каталізатор; → – теплові потоки.

досягнуто підвищення ККД у ~1,4 рази порівняно зі звичайними схемами генераторів, де низькопотенційне відпрацьоване тепло не використовується [3].

Подальше покращення ефективності термоелектричного перетворення слід очікувати, коли теплообмінні поверхні у проникному термоелементі стають джерелами теплової енергії необхідної потужності. Це досягається використанням проникних термоелементів з внутрішніми каталітичними джерелами тепла (рис. 1).

За умови згоряння палива у каналах або порах такі каталізатори стають розосередженими джерелами



**Рис. 2.** Розподіл температури у циліндричній вітці термоелементу: висота вітки – 20 мм; діаметр каналу – 2 мм; діаметр вітки – 12 мм.

тепла. Властивості таких джерел регулюються структурою, концентрацією та природою каталізатора, геометрією каналів і т. ін.

Однак відомі методи отримання каталізаторів [4,5], які ґрунтуються на просочуванні носія розчинами активних компонентів з подальшим висушуванням та прожарюванням, не дозволяють регулювати розподіл активної фази по об'єму пористого носія і змінювати активність каталізатора, не змінюючи концентрацію розчину.

**Метою даної роботи** є виявлення особливостей нанесення активних компонентів каталізатора на пористі носії для забезпечення необхідного розподілу активних компонентів та досягнення максимальної повноти згоряння газового палива у пористих каталітичних структурах проникних термоелементів.

## I. Результати теоретичних та експериментальних досліджень

З використанням програми COMSOL визначено розподіл температур в каналі та термоелектричному матеріалі (рис. 2) для трьох варіантів проникних термоелементів з каталізаторами: а – каталізатор тонким шаром (200 мкм) нанесено на стінки циліндричних каналів; б – канали термоелемента заповнені пористим каталізатором ( $\phi = 200\text{--}250$  мкм) з рівномірним розподілом активного компонента по об'єму каналу; в – каталітично активний компонент розташований на вході газоповітряної суміші у канал, який заповнений пористим носієм.

Концентрація активного компонента для усіх варіантів однакова. Ступінь перетворення газу також однакова і досягається зміною швидкості надходження суміші газу і повітря через канал з каталізатором. Термоелемент виготовлено з термоелектричного матеріалу, теплопровідність якого знаходиться в межах  $0,012\text{--}0,016$  Вт/см·К.

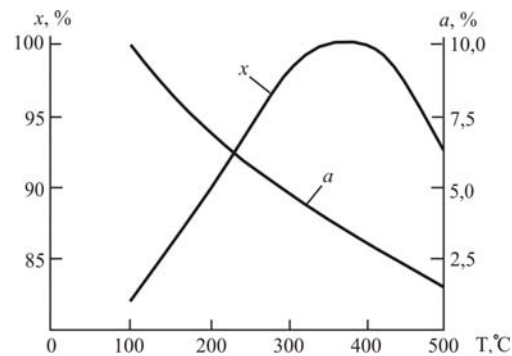
Як видно з рис. 2, максимальний перепад температур досягається за умови розташування каталізатора у верхній частині каналу на вході газоповітряної суміші. Нанесення каталізатора на внутрішню поверхню циліндричних каналів є менш ефективним.

За носій для отримання каталізатора використано

$\text{Al}_2\text{O}_3$ , основні характеристики якого наведено у табл. 1.

За активну фазу використано благородні метали Pt і Pd або їх суміш та оксиди металів змінної валентності Co, Cr, Fe. Для носіїв на основі  $\text{Al}_2\text{O}_3$  важливим є можливість регулювання кількості гідроксильних груп, адсорбованих на активних центрах поверхні носія [5,6]. Експериментально встановлено, що попередня термічна обробка носія на основі  $\text{Al}_2\text{O}_3$  суттєво впливає на ефективність каталізатора в реакції каталітичного окиснення газового палива (рис. 3).

З рис. 3 видно, що для отримання каталізатора з високою каталітичною активністю оптимальним температурним режимом попереднього



**Рис. 3.** Залежність ступеня перетворення ( $x$ ) газового палива і залишкової вологості ( $a$ ) носія ( $\text{Al}_2\text{O}_3$ ) каталізатора від температури попередньої термічної обробки носія. Каталізатор Pt - Pd (1,0%) у співвідношенні 1:3.

прожарювання, а відповідно і забезпечення необхідної кількості адсорбованих гідроксильних груп на поверхні носія [7] є інтервал температур  $300\text{--}400^\circ\text{C}$ . Подальше підвищення температури призводить до зменшення ступеня перетворення газового палива до продуктів глибокого окиснення  $\text{CO}_2$  і  $\text{H}_2\text{O}$ , що зумовлено суттєвим зменшенням концентрації активних центрів (кислотних центрів) при підвищенні температури прожарювання [8].

Другим важливим чинником, що впливає на розподіл компоненту, а відповідно і на активність

Таблиця 1

Характеристики гранульованих носіїв на основі  $Al_2O_3$ 

Носій	Насипна вага, г/см <sup>3</sup>	Пористість, см <sup>3</sup> /г	Розмір пор, Å	Питома поверхня, м <sup>2</sup> /г	Механічна міцність на стискування кг/см <sup>3</sup>
$\gamma-Al_2O_3$	0,85	0,33 – 0,40	100 – 1000	120	60 – 90
$\gamma-Al_2O_3 \theta-Al_2O_3$	0,55	0,35-0,45	100-1000	220	50-80
$Al_2O_3$	0,7	0,45 – 0,5	100 – 1000	70	50

Таблиця 2

Вплив часу просочування носія на глибину проникнення активної фази (отримання рівномірного розподілу) і відносну каталітичну активність у реакції окиснення газового палива

Час просочування, год.	5	10	15	20	30	40
Глибина проникнення активної фази, $l/l_0$ *	0,4	0,6	0,8	1,0	1,0	1,0
Відносна швидкість подачі палива, $v_1/v_0$ **	0,6	0,8	0,9	1,0	1,0	1,0

Таблиця 3

Вплив часу просочування носія на глибину проникнення активної фази (отримання поверхневого розподілу) і відносну каталітичну активність у реакції окиснення газового палива

Час просочування, хв.	5	10	15	20	25	30
Глибина проникнення активної фази, $l/l_0$ *	0,05	0,08	0,1	0,15	0,18	0,20
Відносна швидкість подачі палива, $v_2/v_0$ **	0,6	0,8	1,0	1,0	0,95	0,9

Примітка: \* $l$  – глибина проникнення активної фази;  $l_0$  – характеристичний розмір гранули (кулі, циліндра) носія; \*\*  $v_1, v_2$  – експериментальна швидкість подачі палива, л/год.;  $v_0$  – максимальна швидкість подачі палива, при якій досягається повне згорання палива, л/год.

Таблиця 4

Залежність ефективності каталізатора від вмісту Pt і Pd, нанесених на пористий  $Al_2O_3$ 

Вміст Pt, %	$T_{max}, ^\circ C$	$\alpha, \%$	Вміст Pd, %	$T_{max}, ^\circ C$	$\alpha, \%$
0,2	470	96	0,2	475	95
0,5	485	98	0,5	490	97
1,0	500	99	1,0	503	98
2,5	510	100	2,5	512	100
5,0	518	100	5,0	520	100

каталізатора, є умови просочування носія розчином активного компоненту. Проведеними дослідженнями встановлено, що регулювати розподіл активного компонента по об'єму пористого носія на основі  $Al_2O_3$  можна зміною часу попереднього просочування носія летким органічним розчинником, зокрема ацетоном, толуолом, чотирехлористим вуглецем. При цьому час просочування носія летким розчинником вибирається в залежності від того, який розподіл активної фази необхідно отримати у процесі виготовлення каталізатора. Цей час складає 20-30 год. – у випадку рівномірного розподілу активної фази каталізатора в об'ємі пористого носія (табл. 2), і 15-20 хв. – у випадку поверхневого (табл. 3).

Головним механізмом дії органічного розчинника є його конкуруюча адсорбція на поверхні носія [7], внаслідок чого швидкість переміщення активної фази по об'єму пористого носія суттєво збільшується.

Підготовлений таким чином носій просочується розчинними сполуками металів з групи платини ( $H_2PtCl_6$ ) і паладію ( $PdCl_2$ ). Розчини цих солей використовуються у таких концентраціях, які забезпечують вміст Pt, Pd або їх суміші від 0,2 до 5 ваг. %. При цьому поверхневий розподіл активної фази дозволяє отримувати більший вміст

благородного металу у поверхневому шарі пористого носія порівняно з об'ємним, не змінюючи концентрацію просочувальних розчинів.

Подальше нанесення активних компонентів на пористий носій здійснюється відомим методом: висушування при температурі 50-250 $^\circ C$  та прожарювання (300-500 $^\circ C$ ) або відновлення воднем при 300-600  $^\circ C$  протягом 1-10 год.

Глибину проникнення активної фази по об'єму і її розподіл по поверхні носія синтезованих каталізаторів визначали методом растрової електронної мікроскопії і електронно-зондовим рентгенівським мікроаналізом. Растровий електронний мікроскоп BS - 340 (фірми TESLA) зі збільшенням від 20 до 100000; кратність збільшення 70 Å, укомплектований системою аналізу цифрових зображень і системою рентгеноспектрального аналізу.

Отже, як впливає з таблиць 2 і 3, час просочування носія летким розчинником протягом 20-30 год. забезпечує рівномірний розподіл активної фази в об'ємі пористого носія або в окремій гранулі носія ( $l/l_0 = 1$ ), при цьому на отриманих каталізаторах досягається максимальна швидкість окиснення палива у внутрішньо-дифузійному режимі.

Просочування носія протягом 15-20 хв. дозволяє отримати поверхневий розподіл активного компонента і забезпечити максимальний ступінь окиснення палива у зовнішньо-дифузійному режимі.

Ефективність каталізатора, отриманого таким методом досліджували у реакції глибокого окиснення суміші пропану і бутану (у співвідношенні 4:1) в проточному реакторі неперервної дії [9]. Аналіз продуктів згорання (повноту згорання палива) проводили хроматографічним методом. Результати досліджень наведені у табл. 4.

За критерій ефективності вибрано максимальну температуру процесу окиснення та ступінь перетворення вуглеводнів. Максимальна температура окиснення знаходилась у межах 470-520°C, ступінь перетворення близько 100%. Як впливає з наведених даних, оптимальними концентраціями платини і паладію є 0,2-5,0 % від маси носія.

## Висновки

1. Максимальна різниця температур у термоелементі з внутрішнім каталітичним джерелом

тепла досягається за умови використання поверхневого розподілу активного компонента, а саме його концентрування на вході газоповітряної суміші у канал проникного термоелементу.

2. Головними факторами регулювання розподілу активного компонента по об'єму пористого каталізатора є час попереднього просочування носія легким органічним розчинником, який для рівномірного розподілу складає 20-30 годин, для поверхневого – 15-20 хвилин.

3. Встановлено, що оптимальна температура попередньої термічної обробки пористого носія на основі  $Al_2O_3$  знаходиться на рівні 300-400°C. За таких умов максимальний ступінь перетворення газового палива на Pt – Pd каталізаторах досягає 100%.

**Струтинська Л.Т.** – кандидат хімічних наук, старший науковий співробітник;

**Михайловський В.Я.** – доктор фіз.-мат. наук, провідний науковий співробітник, завідувачий лабораторією.

- [1] Л.І. Анатичук, В.Я. Михайлівський. Розвиток досліджень і розробок термогенераторів на органічному паливі // *Термоелектрика*, (4), сс. 5-38 (2004).
- [2] Г.К. Котирло, Ю.Н. Лобунец. *Расчет и конструирование термоэлектрических генераторов и тепловых насосов*. Наукова думка, Киев. 300 с. (1980).
- [3] Р.Г. Черкез. *Проникні термоелементи з функціонально-градієнтних матеріалів*. Дис. канд. фіз.-мат. наук: 01.04.01. Чернівці. 126 с. (2004).
- [4] Пат. US 4818745. МКИ: B01J21/04; B01J21/10; B01J23/89. *Catalyst for oxidation of carbon monoxide and process for preparing the catalyst* / John H. Kolts (US). Опубл. 04.04.1989.
- [5] Пат. EP 0354525 A1. МКИ: B01J 23/56; B01D 53/36; C10G 11/04. *Carbon monoxide oxidation catalyst* / Peters, Alan Winthrop (US). Опубл. 14.02.1990.
- [6] *Модифицированные кремнеземы в сорбции, катализе и хроматографии.* / Под ред. Г.В. Лисичкина. Химия, М. 248с. (1986).
- [7] Т.Г. Алхазов, Л.Я. Марголис. *Глубокое каталитическое окисление органических веществ*. Химия, М. 186 с. (1985).
- [8] Н.М. Попова. *Катализаторы очистки выхлопных газов автотранспорта*. Наука, Алма-Ата. 224 с. (1987).
- [9] Патент UA № 26393. МКВ: B01J23/54, B01J23/89. *Процес виготовлення каталізатора для глибокого окиснення газоподібних вуглеводнів та монооксиду вуглецю* / Л.Т. Струтинська, В.Я. Михайловський (UA). Опубл. 25.09.2007. Бюл. 15. Заявка а 200704794 від 28.04.2007.

L.T. Strutynska, V.Ya. Mykhailovsky

## Preparation of Catalytic Structures for Permeable Semiconductor Thermoelements

*Institute of Thermoelectricity of the National Academy of Sciences and Ministry of Education of Ukraine, Chernivtsi Central Post Office Box 86, 58002, tel (03722) 4-55-32, E-mail: [anatykh@inst.cv.ua](mailto:anatykh@inst.cv.ua)*

Results of research into temperature distribution in catalytic heat sources for permeable thermoelements are presented. Peculiarities of deposition of active catalyst components onto porous carries and conditions of providing a controlled distribution of active components and achieving maximum completeness of gaseous fuel combustion in porous catalytic structures of permeable thermoelements are established.

**Key words:** permeable thermoelement, catalyst, active component, porous carrier.